



Sterowanie Dykretne

Patryk Lorenc

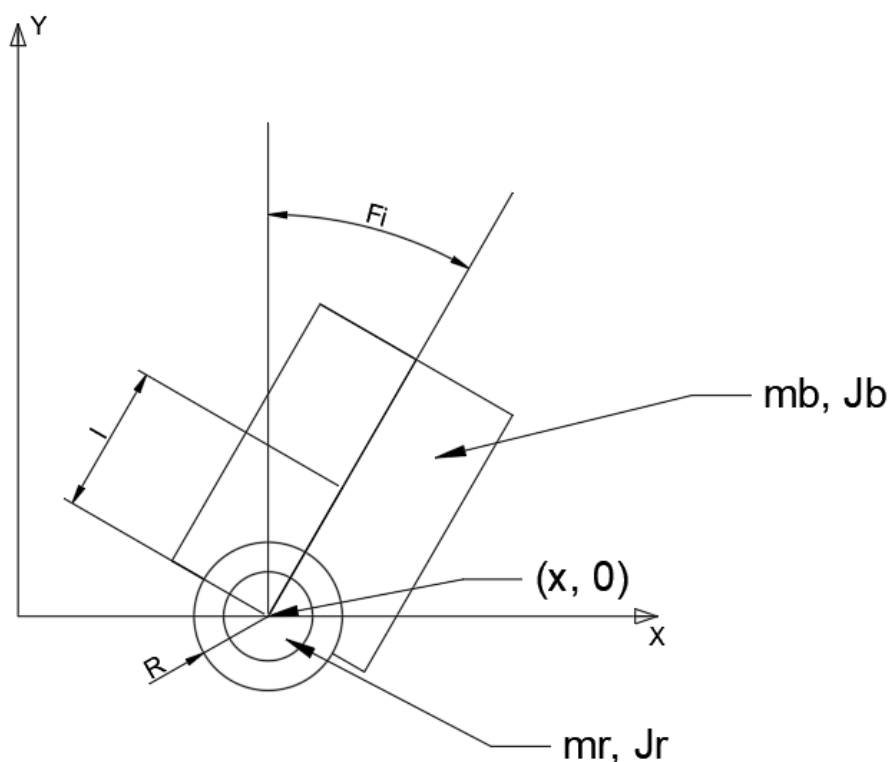
APiR IMiR

## Temat: Problem wachadła odwróconego na przykładzie samobalsującego się dwu kołowego robota

Celem niniejszego projektu jest opracowanie efektywnego układu regulacji dla problemu wachadła odwróconego, zastosowanego w kontekście dwukołowego robota mobilnego. Wahadło odwrócone jest jednym z fundamentalnych problemów w dziedzinie sterowania i automatyki, znacząco wpływając na stabilność i zachowanie dynamiczne systemów mechanicznych.

W przypadku dwukołowego robota, dynamiczne właściwości wachadła odwróconego stają się kluczowym wyzwaniem, które należy skutecznie zarządzać w celu zapewnienia stabilnego i precyzyjnego poruszania się. Projekt ten skupia się na modelowaniu matematycznym wachadła odwróconego, identyfikacji jego parametrów oraz opracowaniu układu regulacji, który umożliwi efektywne utrzymanie równowagi dwukołowego robota w różnych warunkach.

Model matematyczny:



Wyprowadzenie transmitancji

$r$  – promień koła

$m_r$  – masa koła

$J_r$  – bezwładność koła

$f_r$  – opór toczy

$l$  – odległość centrum układu współrzędnych od środka masy

$m_b$  – masa robota bez kół

$J_b$  – bezwładność kół robota

$f_b$  – opór powietrza

$g$  – siła grawitacji

Środek ciężkości robota

$$x_i = x + l \cdot \sin(\theta)$$

$$y_i = y + l \cdot \cos(\theta)$$

Obliczamy prędkość różniczkując stronami

$$V_{xi} = \dot{x} + l \cdot \cos(\theta)$$

$$V_{yi} = -l \cdot \sin(\theta)$$

Obliczmy wektor prędkości

$$v^2 = v_x^2 + v_y^2 = \dot{x}^2 + 2 \cdot l \cdot \dot{x} \cdot \dot{\theta} \cos(\theta) + l^2 \cdot \dot{\theta}^2 \cos^2(\theta) + l^2 \dot{\theta}^2 \sin^2(\theta)$$

Upraszamy używając „jedynki trygonometrycznej”

$$E_k = \frac{1}{2} m_B \cdot \dot{x}^2 + m_B \cdot l \cdot \dot{x} \cdot \dot{\theta} \cdot \cos(\theta) + \frac{1}{2} m_B \cdot l^2 \cdot \dot{\theta}^2$$

Uogólnione równie Lagrange dla prędkości obrotowego układu

$$\frac{d}{dt} \left( \frac{\partial E_T}{\partial \dot{x}} \right) - \frac{\partial E_T}{\partial x} = Q_R$$

$$\frac{d}{dt} \left( \frac{\partial E_T}{\partial \dot{\theta}} \right) - \frac{\partial E_T}{\partial \theta} = Q_B$$

Obliczając dla prędkości uogólnionej znajdujemy  $Q_R$

$$\frac{d}{dt} \left( \frac{\partial E_T}{\partial \dot{x}} \right) = (m_B + m_R)\ddot{x} + m_B l \dot{\theta} \cos(\theta)$$

$$\left( \frac{\partial E_T}{\partial \dot{x}} \right) = 0 \Rightarrow Q_R = Fw - f_R \dot{x}$$

Analogicznie dla prędkości kątowej uogólnionej

$$\frac{d}{dt} \left( \frac{\partial E_T}{\partial \dot{\theta}} \right) = m_B l \ddot{x} \cos(\theta) + (J_B + m_B l^2) \ddot{\theta} - m_B l \dot{x} \dot{\theta} \sin(\theta)$$

$$\frac{\partial E_T}{\partial \theta} = -m_B l \dot{x} \cdot \dot{\theta} \sin(\theta)$$

$$Q_B = -m_B g l \sin(\theta) - f_B \dot{\theta}$$

Podstawiając wszystko do równania Lagrange'a otrzymujemy równanie opisujące ruch robota

$$\ddot{x} = -\frac{m_B l}{m_B + m_R} (\ddot{\theta} \cos(\theta) + \dot{\theta}^2 \sin(\theta)) + \frac{1}{m_B + m_R} (Fw - f_R \dot{x})$$

$$\ddot{\theta} = -\frac{m_B l}{(J + m_B l^2)} (\ddot{x} \cos(\theta) + g \sin(\theta)) - \frac{f_B}{(J + m_B l^2)} (\dot{\theta})$$

Dokonujemy linearyzacji w punkcie pracy z wykorzystaniem wielomianu Taylora. Dodatkowo zakładamy że koła są nieodkształcalne.

Punkt pracy taki że:

$$\theta = \dot{\theta} = 0$$

Linearyzacja:

$$\cos(\theta) = -1$$

$$\sin(\theta) = \theta$$

$$\ddot{x} = \frac{m_B l}{m_B + m_R} (\ddot{\theta}) + \frac{1}{m_B + m_R} (Fw - f_R \dot{x})$$

$$\ddot{\theta} = -\frac{m_B l}{(J + m_B l^2)}(\ddot{x}) - \frac{f_B}{(J + m_B l^2)}(\dot{\theta})$$

Wykonując podstawienie otrzymujemy:

$$\ddot{x} = \frac{(F_W - f_R \dot{x})(J + m_B l^2) + m_B^2 l^2 g \theta}{J(m_B + m_R) + m_B m_R l^2}$$

$$\ddot{\theta} = \frac{m_B l (F_W - f_R \dot{x}) + m_B g (m_B + m_R) \theta}{J(m_B + m_R) + m_B m_R l^2}$$

Wykonujemy transformatę Laplace'a i obliczymy transmitancję operatorową układu ciągłego gdzie wejściem układu jest moment obrotowy koła a wyjściem odchylenie w pionie robota

$m = J(m_B + m_R) + m_B m_R l^2$  – podstawienie za całkowity moment bezwładności

$$\frac{\theta(s)}{F_W(s)} = \frac{m_B l s}{m s^3 + f_R (J + m_B l) s^2 - m_b l g (m_B + m_R) s - f_R m_B l g}$$

Podstawiając

$$F_W(s) = r s \theta_W(s)$$

Gdzie

$\theta_W(s)$  – transformata drogi kątowej przebytej przez koło

Ostatecznie:

$$\frac{\theta(s)}{\theta_W(s)} = \frac{m_B l s^2}{p s^3 + f_R (J + m_B l) s^2 - m_b l g (m_B + m_R) s - f_R m_B l g}$$

Dane:

$$r = 0.04 \text{ m}$$

$$m_R = 0.18 \text{ kg}$$

$$J_R = 0.000025 \text{ kg} \cdot \text{m}^2$$

$$f_B = 0.02 \frac{\text{N}}{\text{rad} \cdot \text{s}}$$

$$l = 0.1 \text{ m}$$

$$m_B = 1.2 \text{ kg}$$

$$J_b = 0.0015 \text{ kg} \cdot \text{m}^2$$

$$f_r = 0.02 \frac{\text{N}}{\text{rad} \cdot \text{s}}$$

$$g = 9.8 \text{ m} \cdot \text{s}^2$$

Otrzymana transmitancja układu ciągłego:

$G_s =$

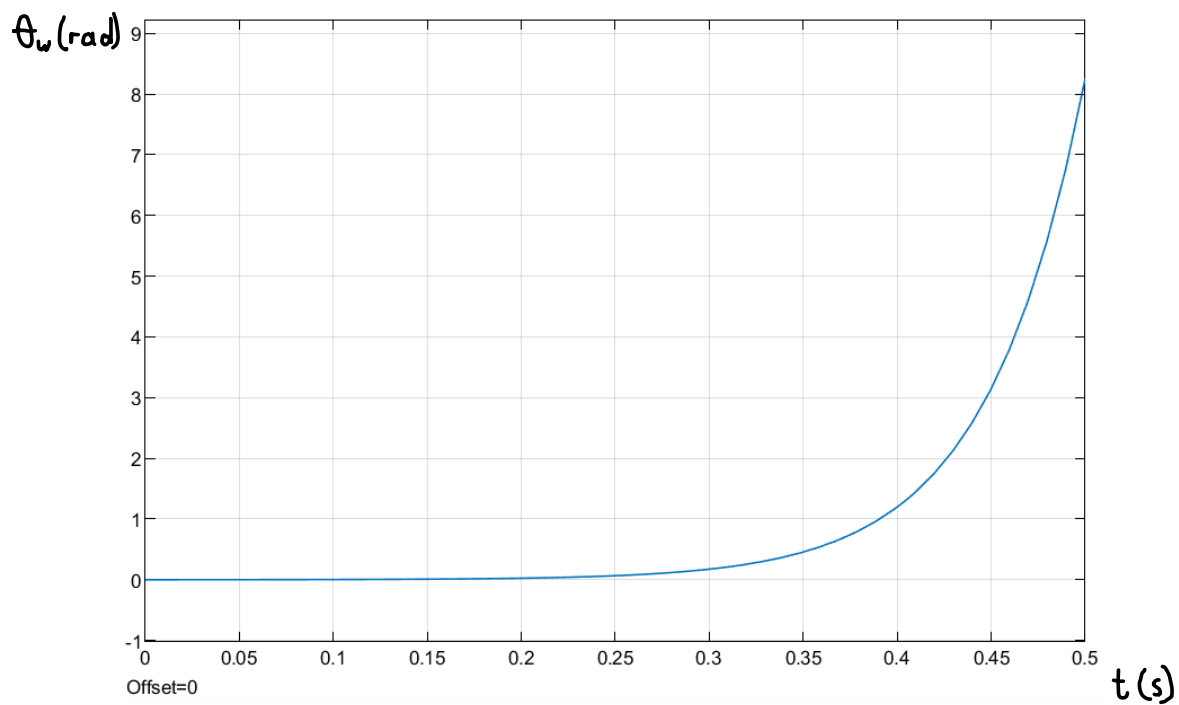
$$\frac{0.0048 \text{ s}^2}{0.00423 \text{ s}^3 + 0.00243 \text{ s}^2 - 1.623 \text{ s} - 0.02352}$$

Dyskretyzacja przy  $T_s = 0.01$

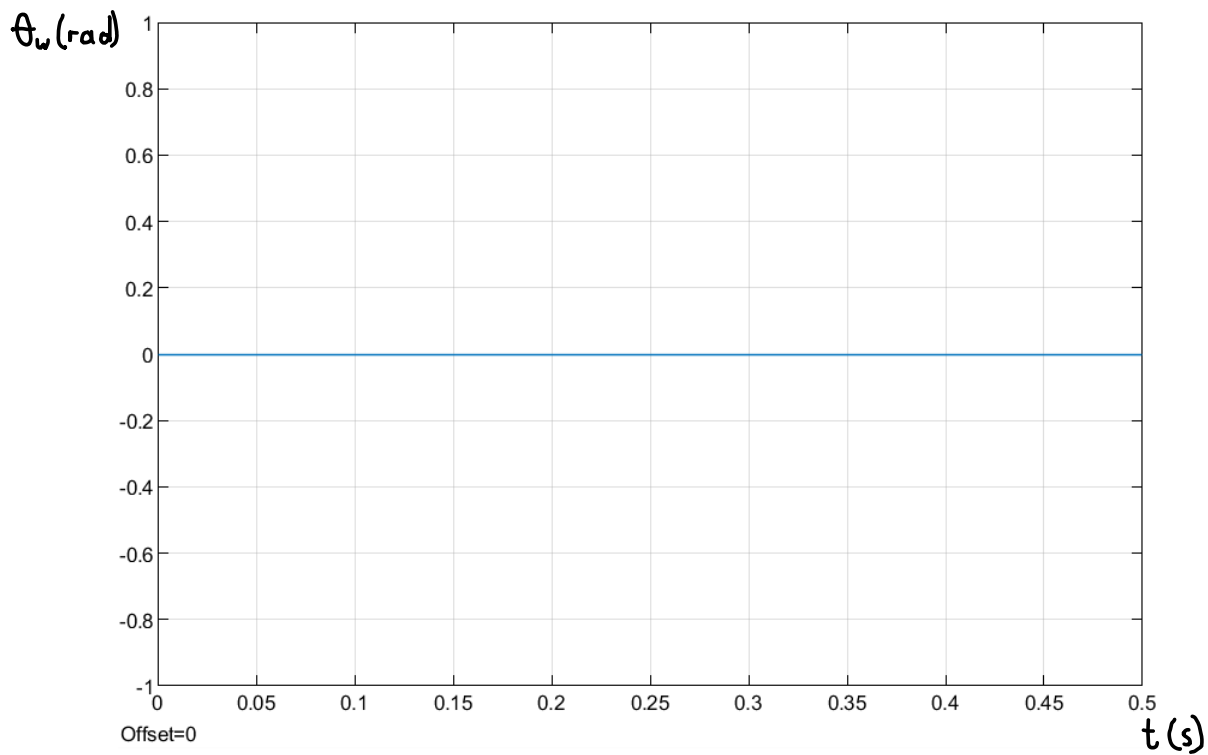
$G_z =$

$$\frac{0.0111 \text{ z}^2 - 0.0222 \text{ z} + 0.0111}{\text{z}^3 - 2.982 \text{ z}^2 + 2.926 \text{ z} - 0.9442}$$

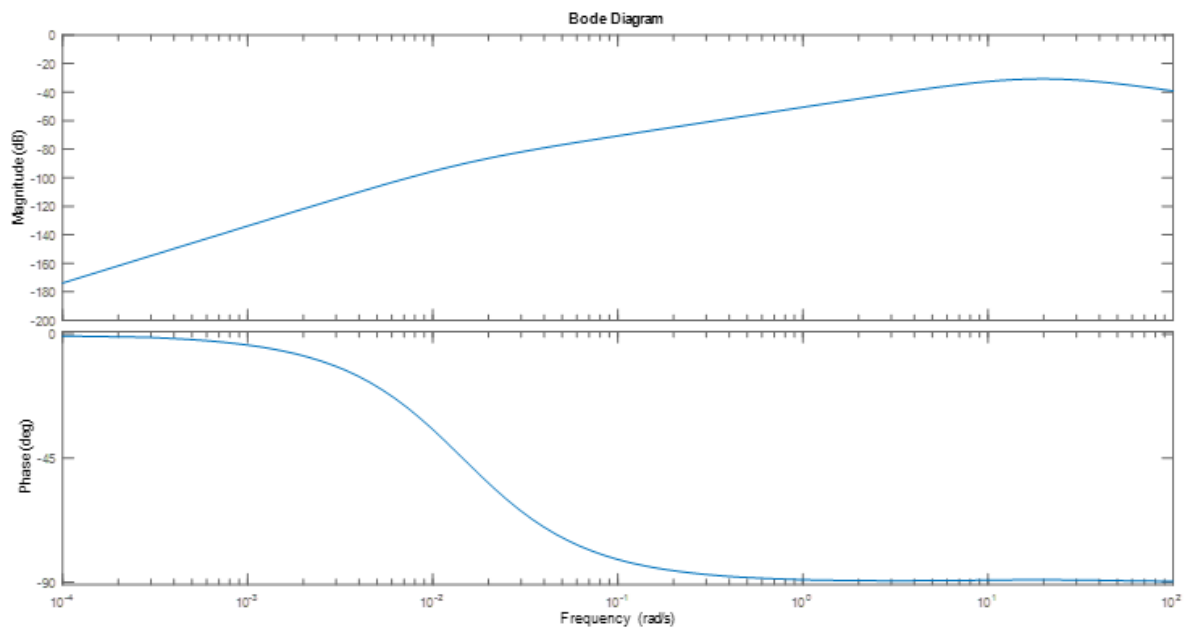
Odpowiedz skokowa na układ ciągłego:



Odpowiedz skokowa układu dyskretnego:



Wykres Bodego układu ciągłego



Na wykresie Bodego widać że układ nie ma zapasu wzmocnienia przez co nie możliwe jest wprowadzenie go w oscylacje, przez co nie jest możliwe uzyskanie nastaw regulatora oscylacyjną metodą Zieglera-Nicolosa. Ponadto odpowiedź skokowa pokazuje że układ

jest sam z siebie niestabilny przez co nie można użyć metody odpowiedzi skokowej do obliczenia nastaw regulatora.

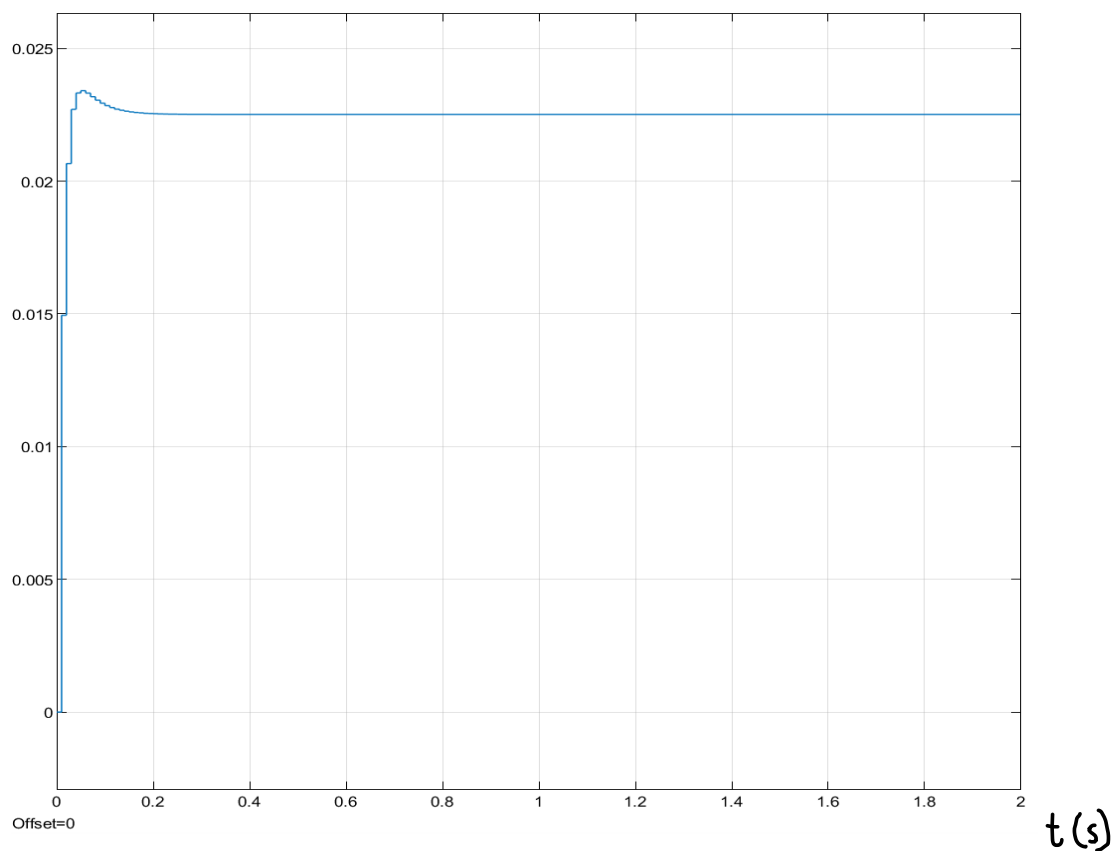
## Metoda heurystyczna

Na podstawie odpowiedzi skokowej widać że w układzie czas całkowania  $T_i$  musi być dużo większy od czasu różniczkowania  $T_d$ . Ze względu na tę zależność pomijam element różniczkujący i zakładam że  $T_d = 0$ . Czas całkowania przyjmuje bardzo duży i zakładam że powinien on wynosić  $T_i = 1500$ . Natomiast wzmacnienie dobieram tak żeby uzyskać możliwie najmniejsze przeregulowanie. Ja przyjąłem  $K_p = 75$ .

Po zastosowaniu moich nastaw i zaimplantowaniu ich do regulatora PID(z) otrzymuje następującą odpowiedź układu.

## Wykres położenia od czasu

$\theta_w(\text{rad})$





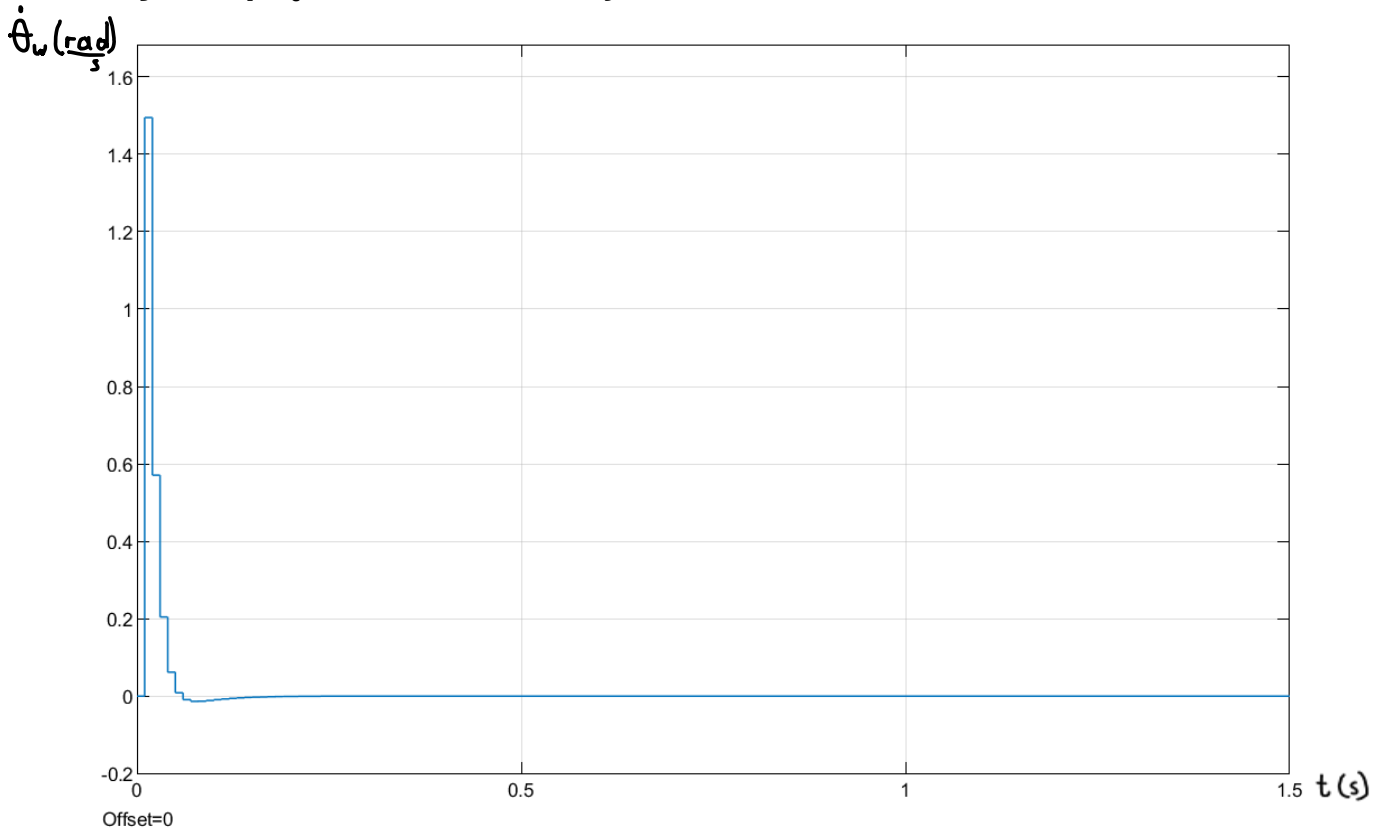
Przeregulowanie w układzie wynosi:

$$k = \frac{2.386 - 2.299}{2.299} * 100\% = 3.7\%$$

Czas regulacji wynosi:

$$Tr = 0.2 \text{ s}$$

### Wykres prędkości obrotowej od czasu



Użycie metody Tune z pakietu Matlab użyta w celu porównania jej z metodą heurystyczną.

Matlab zaproponował nastawy:

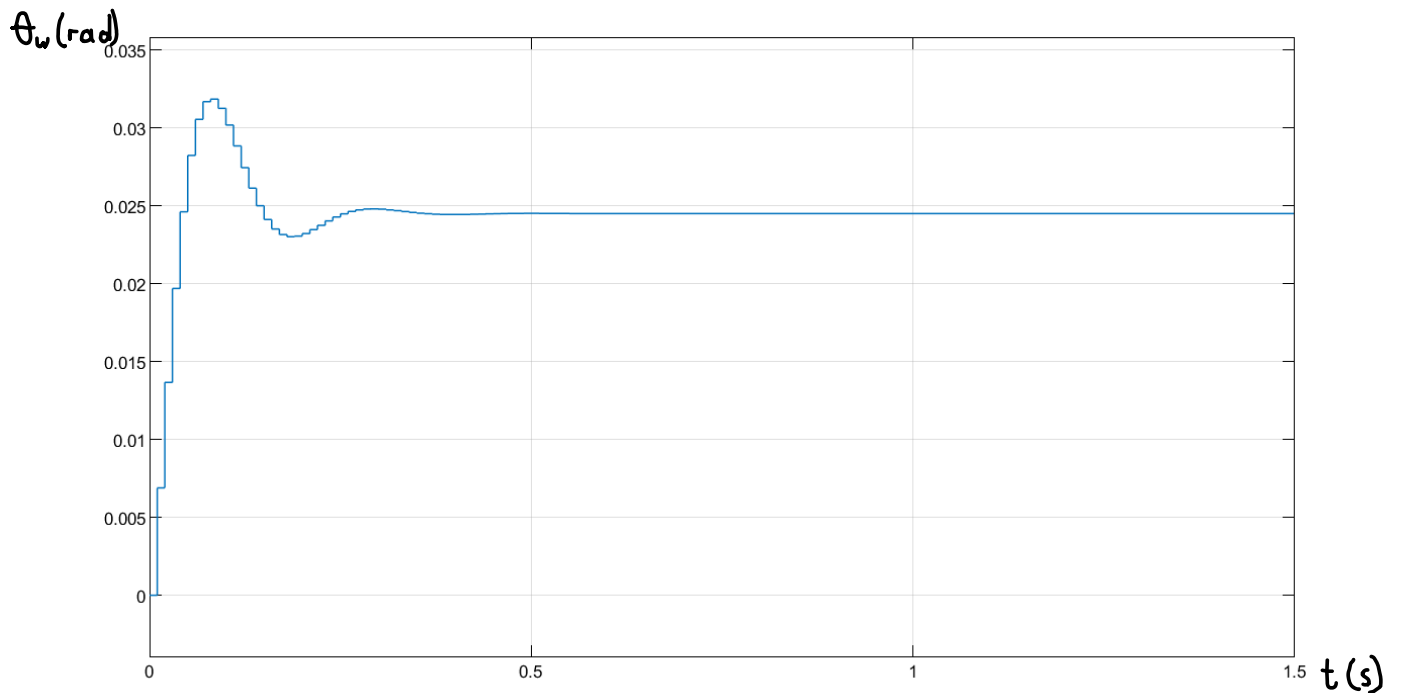
$K_p = 34.5896183101414$

$T_i = 1171.26424695968 \text{ s}$

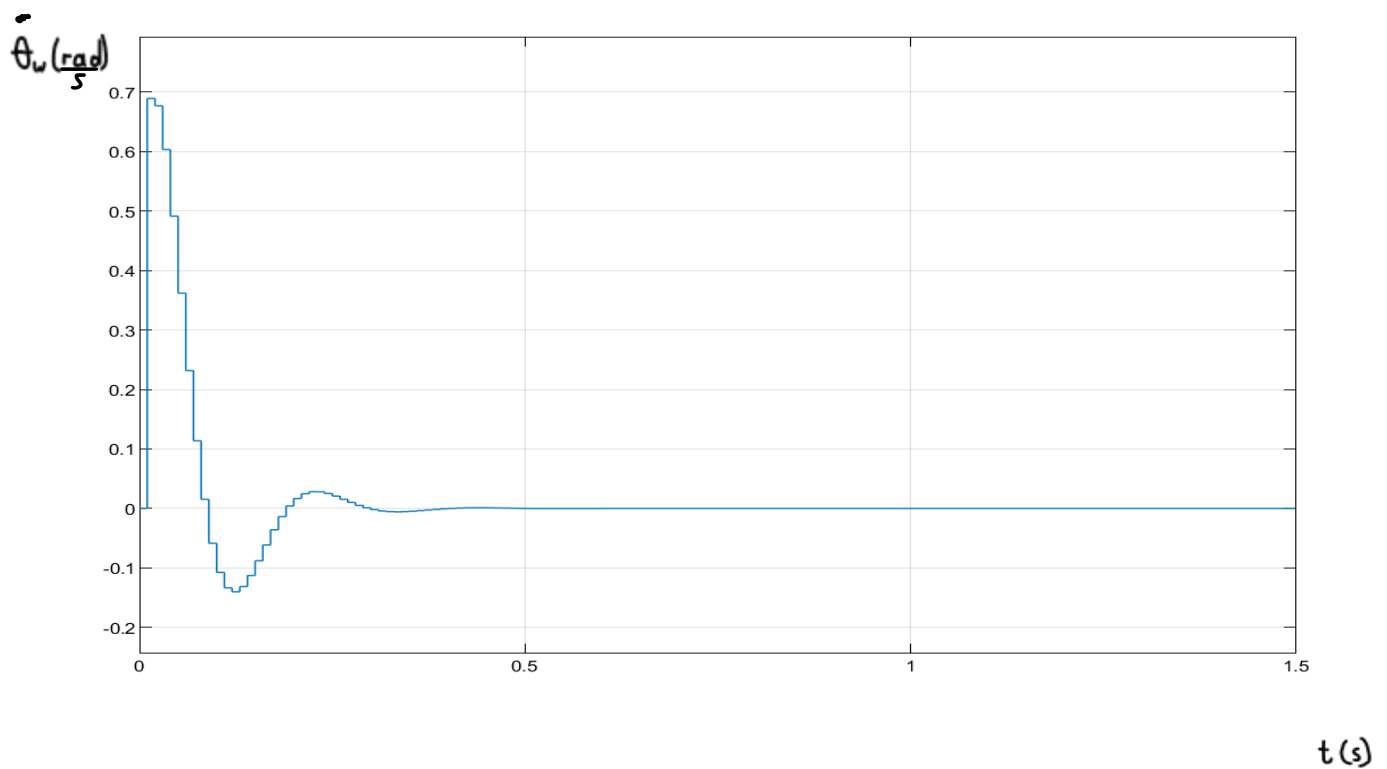
$T_d = 0 \text{ s}$

Odpowiedz układu wygląda na następująco.

### Wykres położenia od czasu



### Wykres prędkości kątowej od czasu



Przeregulowanie:

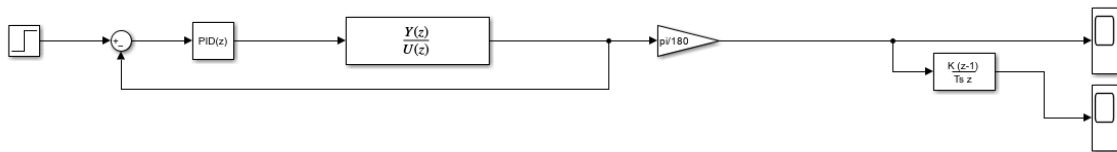
$$K = \frac{3.219 - 2.455}{2.455} * 100\% = 31\%$$

Czas regulacji:

$$Tr = 0.3 \text{ s}$$

Metoda heurystyczna dała lepszy efekt ze względu na mniejsze przeregulowanie układu i krótszy czas regulacji.

Schemat układu UAR przy obydwu metodach jest taki sam.



## Regulator LQR

Regulator Liniowo-Kwadratowy (LQR), stanowi kluczowy element w rozwiązaniu problemu LQ, gdzie układ dynamiczny jest opisany zestawem liniowych równań różniczkowych, a celem jest minimalizacja kosztu zgodnie z zasadami teorii sterowania optymalnego. W kontekście regulacji liniowo-kwadratowej, dąży się do określenia optymalnych nastaw regulatora, sterującego na przykład maszyną czy procesem. Algorytm matematyczny wykorzystywany w regulatorze LQR ma na celu minimalizację funkcji kosztów, gdzie wagi przypisane przez inżyniera wpływają na parametry tej funkcji.

Kod w matlabie umożliwiający obliczenie nastaw regulatora LQR

```

% regulator LQR
Q = 2*C'*C

Q1 = [0.5, 0, 0;
      0, 1, 0;
      0, 0, 40]
R = 1; % Control effort weighting

[K1,S1,P1] = lqrd(A,B,Q1,R,Ts);

sys1 = ss(A-B*K1,B,C,D);
% step(sys1)

C_lqr = [1 0 0;
         0 1 0;
         0 0 1]

D_lqr = [0; 0; 0]

sys_lqr = ss(A,B,C_lqr,D_lqr)
d_sys_lqr = c2d(sys_lqr,0.1)

```

Dobranie nastawów regulatora LQR wymaga policzanie równania Riccatiego. Pakiet Matlab posiada gotową funkcję która to oblicza. Macierz bias-ów  $R = 1$ . Wynika to z tego że mój układ to SISO, a macierz wag  $Q$  dobrałem w sposób eksperymentalny. Obrazuje ona jakie wpływ dane równania w przestrzeni stanów mają wpływ

Macierz wag:

```

Q1 =

          0.5          0          0
          0          1          0
          0          0         40

```

Macierz wzmocnień:

```

K1 =

13.0109761253033    4.3593489814667    6.50627580630869

```

Pozostałe macierze otrzymane jako wyniki równania Riccatiego

S1 =

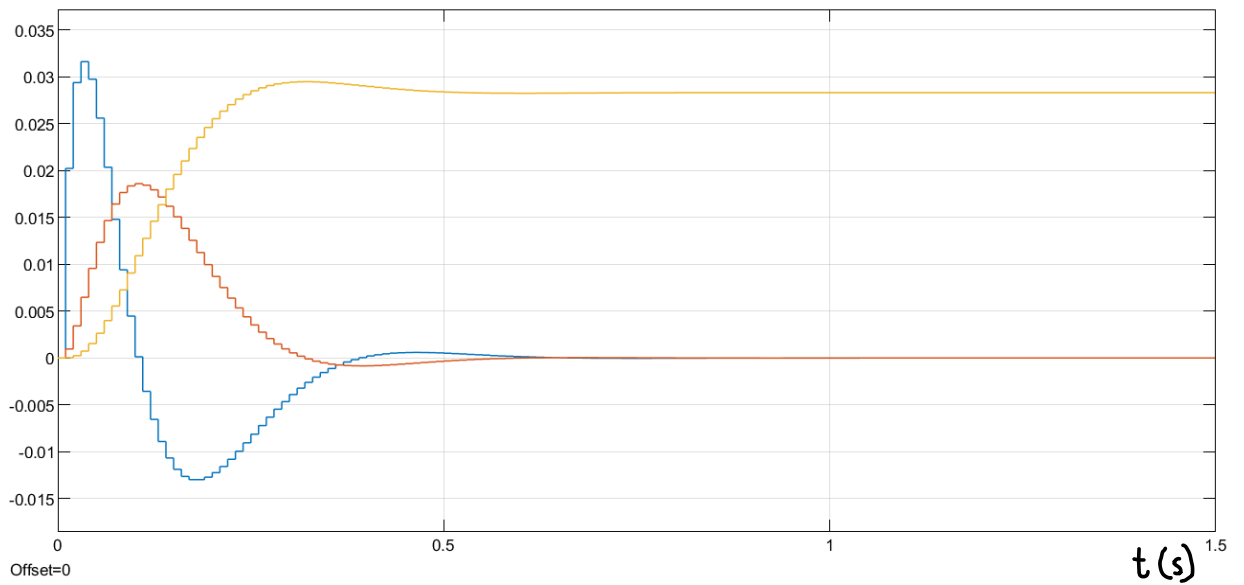
13.4564137858297	5.04192812025366	6.92405428834472
5.04192812025366	107.553177140546	41.6037340519001
6.92405428834472	41.6037340519001	72.4184999518176

P1 =

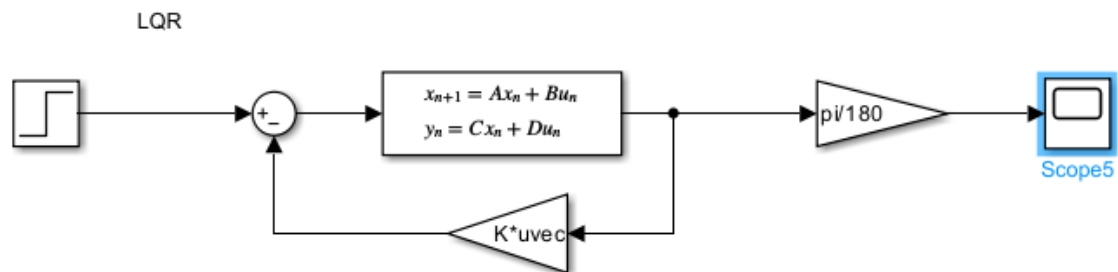
0.990871541795987 +	0.00597257359035619i
0.990871541795987 -	0.00597257359035619i
0.948497345465233 +	0i

## Odpowiedzi układu:

$\theta_w(\text{rad})$   
 $\dot{\theta}_w(\frac{\text{rad}}{\text{s}})$   
 $\ddot{\theta}_w(\frac{\text{rad}}{\text{s}^2})$



## Schemat z Simulinka:

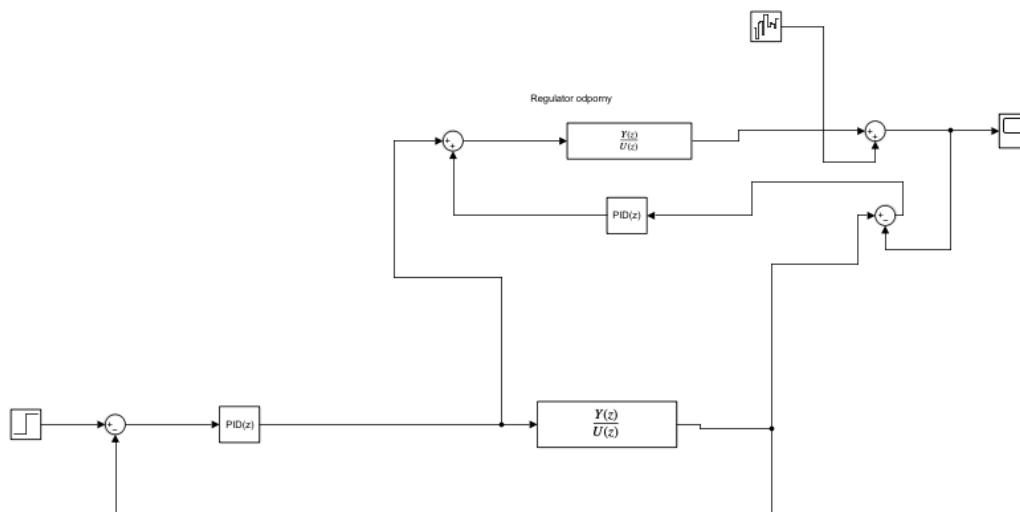


## Regulator odporny

Regulator odporny, znany również jako regulator krzepki (ang. robust control), to podejście do projektowania systemów regulacji, które ma na celu zapewnienie stabilności i efektywnego działania układu regulacji nawet w obliczu niepewności, zakłóceń oraz błędów modelowania obiektu. Kluczowym celem jest tolerancja na różnice między rzeczywistym obiektem regulacji a jego matematycznym modelem. Regulatory odporne są projektowane tak, aby utrzymywały stabilność układu nawet w przypadku zmian parametrów obiektu czy nieznanymi zakłóceń. Działają w określonym zbiorze parametrów, zapewniając skuteczność regulacji w warunkach rzeczywistych, pomimo potencjalnych niepewności i błędów modelowania.

Jako regulator w torze głównym układu zakładam regulator dobrany metoda heurystyczna, ze względu na to że dał on lepsze efekty niż PID dobrany za pomocą narzędzia tune. Drugi regulator również został dobrany metoda heurystyczna.

## Układ sterownia w Simulinku



## Transmitancja członu z opóźnieniem

Guzd =

$$z^{(-300)} * \frac{0.0001148 z - 0.000116}{z^2 - 2.02 z + 1.021}$$

Skrypt w Matlabie który policzył tą transmitancję

% opoznienie układu

```
Gucd = tf(L, M, 'InputDelay', 3)  
Guzd = c2d(Gucd, Ts, 'ZOH')
```

Nastawy regulatora w torze głównym

$P = 75$

$T_i = 1500 \text{ s}$

$T_d = 0 \text{ s}$

Nastawy regulatora układu z opóźnieniem

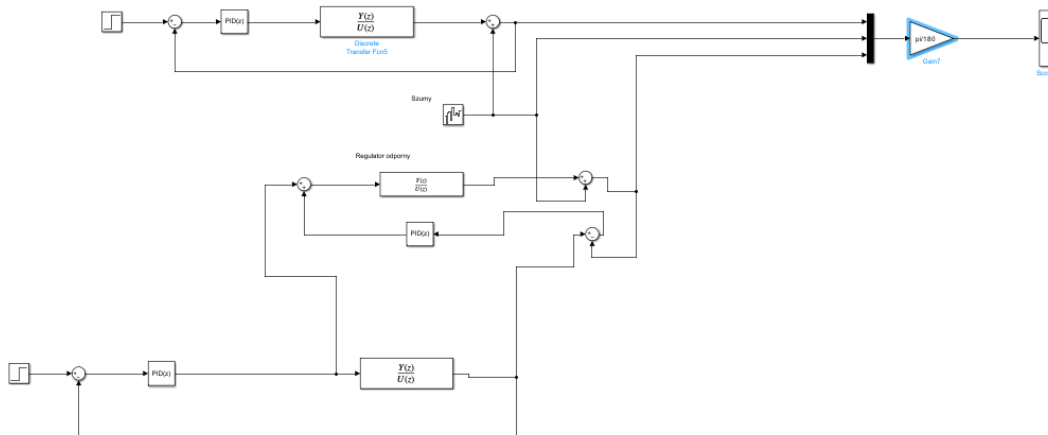
$P = 100$

$T_i = 5000 \text{ s}$

$T_d = 0 \text{ s}$

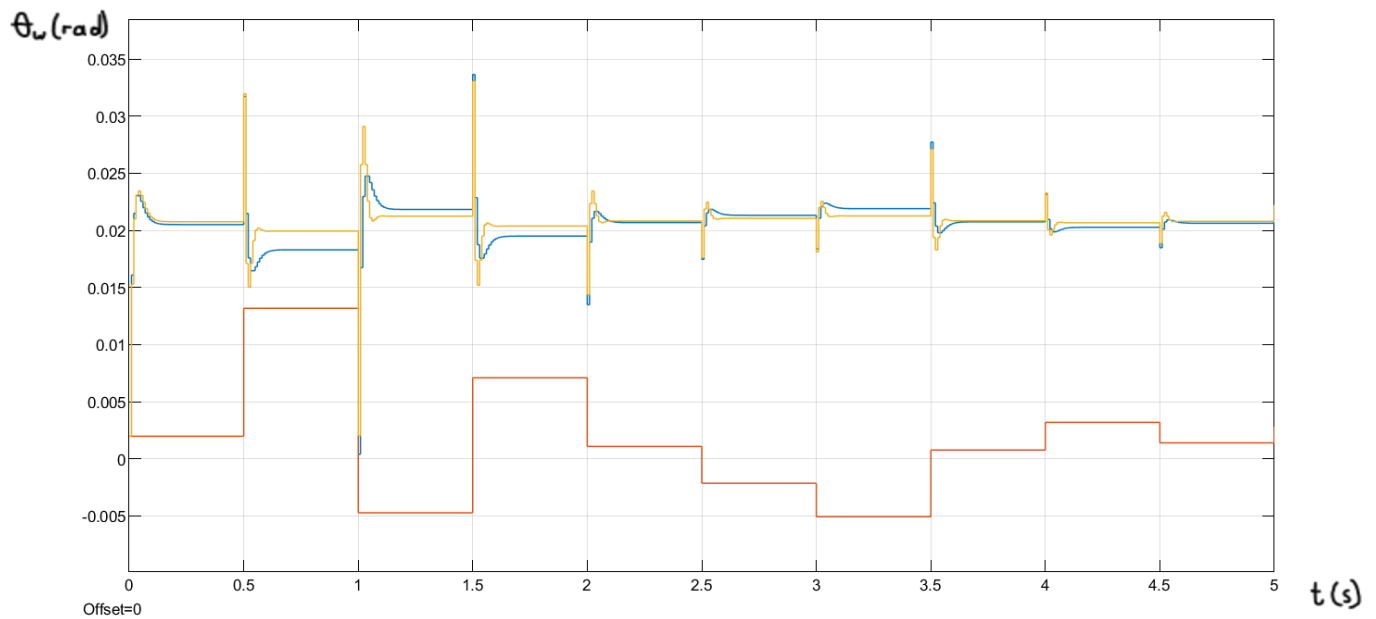
Porównanie układu odpornego ze zwykłym układem posiadającym w torze głównym zwykły regulator PID o nastawach takich samych jak regulator w torze głównym regulatora odpornego.

## Układ w Simulinku



Blok generujący zakłócenia jest ustawiany tak żeby generował losowe liczby między 0 a 0.05 co 0.5 sekundy.

## Wykres położenia od czasu



Żółty wykres – odpowiedź układu z regulatorem PID

Niebieski wykres – odpowiedź układu odpornego

Pomarańczowy wykres – szumy generowane przez bloczek

Na wykresie widać że peaky zakłóceń są bardziej tłumione przez układ z regulatorem odpornym.

## Regulator czasoptymalny

regulator czasoptymalny jest to rodzaj regulatora, którego głównym celem jest minimalizacja czasu potrzebnego do osiągnięcia zadanej wartości wyjścia systemu regulowanego. W przeciwdziałaniu regulacji czasoptymalnej, nacisk kładziony jest na jak najszybsze dostosowanie się systemu do pożądanego stanu, co może być kluczowe w niektórych zastosowaniach.

Transmitancja regulatora:

Grczopt =

$$z^3 - 2.982 z^2 + 2.926 z - 0.9442$$

---

$$1.735e-18 z^3 + 0.0111 z^2 - 0.0222 z + 0.0111$$



Skrypt w Matlab który pozwolił mi otrzymać transmitancje regulatora.

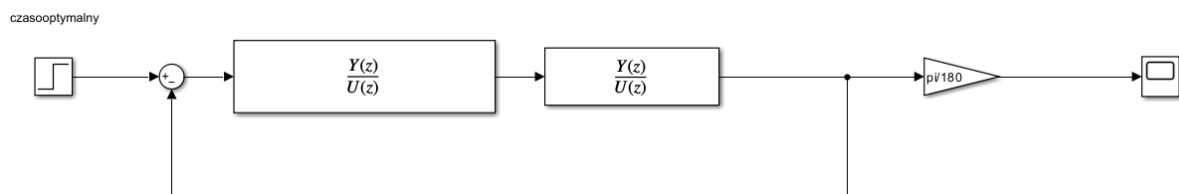
```
% czasooptymalny
Lz = Gz.num{1}
Mz = Gz.den{1}

order_of_tf = length(Mz) - 1

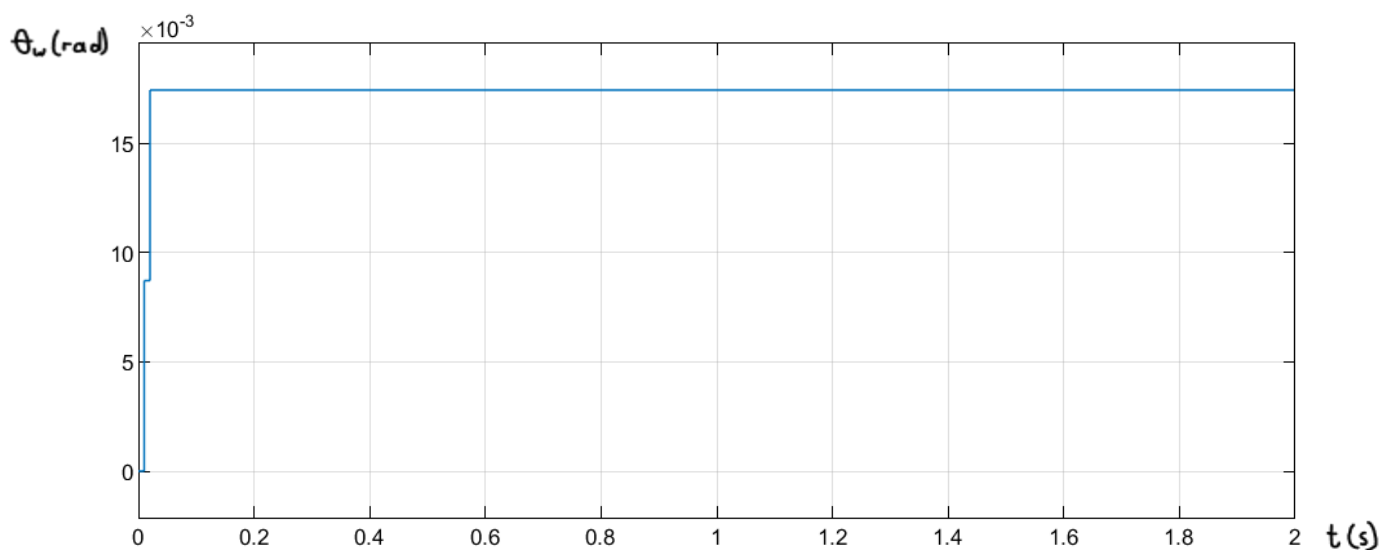
hig = sum(Lz)

Mr = [hig, zeros(0, order_of_tf)] - Lz
Lr = Mz
Grczopt = tf(Lr, Mr, 1)
```

## Schemat w Simulinku



## Wykres położenia od czasu



$K = 0$

$T_r = 0.02 \text{ s} = 2 \cdot T_s$

Regulator czasooptymalny charakteryzuje się przede wszystkim maksymalnie szybkim czasem regulacji (zwykle równe dwa okresy czasu próbkowania). Wadą tego regulatora jest to że tworzy on bardzo duży sygnał sterujący który nie zawsze jest możliwy do osiągnięcia. Dodatkowym problem jest też to że wytwarza on w układzie bardzo duże przyspieszenia. W przypadku tego układu jest on nie użyteczny ze względu na to że układ

ten wymaga niskich czasów próbkowania przez co regulator czasooptymalny będzie regulował bardzo szybko układ a co za tym idzie będzie tworzył duży sygnał sterujący który jest nie możliwy do osiągnięcia.

## **Podsumowanie:**

Obiekt jakim jest samobalansujący się dwu kołowy roboty jest układem ciężkim do regulacji ze względu na to że sam z siebie jest układem niestabilnym. Dodatkowym problem jest też to że wymaga on dosyć niskiego czasu próbkowania ( założenie ze  $T_s > 0.01$ ) powoduje że nie możliwe jest dobranie regulatora PID.

Regulator PID daje dobre warunki regulacji jednak jego problem jest to że nie da się wydłużyć czasu regulacji przez co układ generuje dosyć spore prędkości kątowe które wymagają zaimplementowania serwonapędów będąc w stanie wytrzymać te obciążenia.

Regulator LQR daje najlepsze efekty regulacji. Przyspieszenia i prędkości w układzie są dosyć niskie przez co nie ma w nim dużych przeciążeń. Czas regulacji jest odpowiednio szybki a przeregulowanie praktycznie nie występuje

Regulator odporny jest lepszą wersją regulatora PID ze względu na to że posiada on dokładnie te same problemy jednak ma on własności tłumienia zewnętrznych zakłóceń które w przypadku tego modelu są dużym problemem.

Regulator czasooptymalny daje maksymalnie szybki czas regulacji i zerowe przeregulowanie jednak jest on najgorszym regulatorem ze względu na to że generuje on nie osiągalny do otrzymania sygnał sterowania i gigantyczne obciążenie elementów które najprawdopodobniej od razu uległy by zniszczeniu.